

Biomolekuláris rendszerek vizsgálata

Kis Petik Katalin

14. A lumineszcencia gyakorlati alkalmazása

- a) lumineszcencián alapuló fényforrások
- b) a lumineszcencia orvosi/laboratóriumi felhasználása

65. Modern fénymikroszkópiai eljárások

- a) konfokális lézer-mikroszkóp
- b) kétfotonos gerjesztés

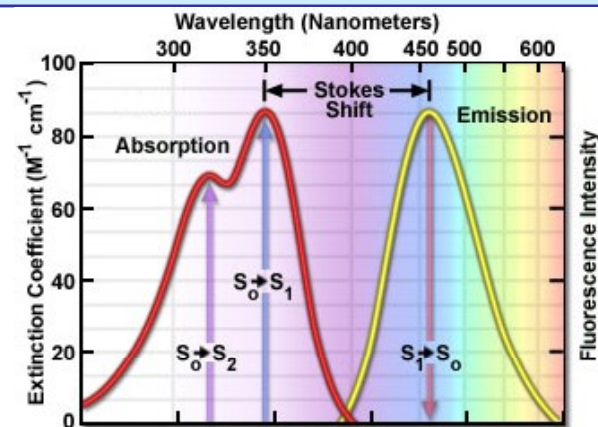
66. Pásztázó mikroszkópos módszerek

- a) A pásztázás elve
- b) Atomerő mikroszkópia

Kapcsolódó részek:
Damjanovich-Fidy-Szöllősi:
X/1, X/2., X/3.

2018.04.10.

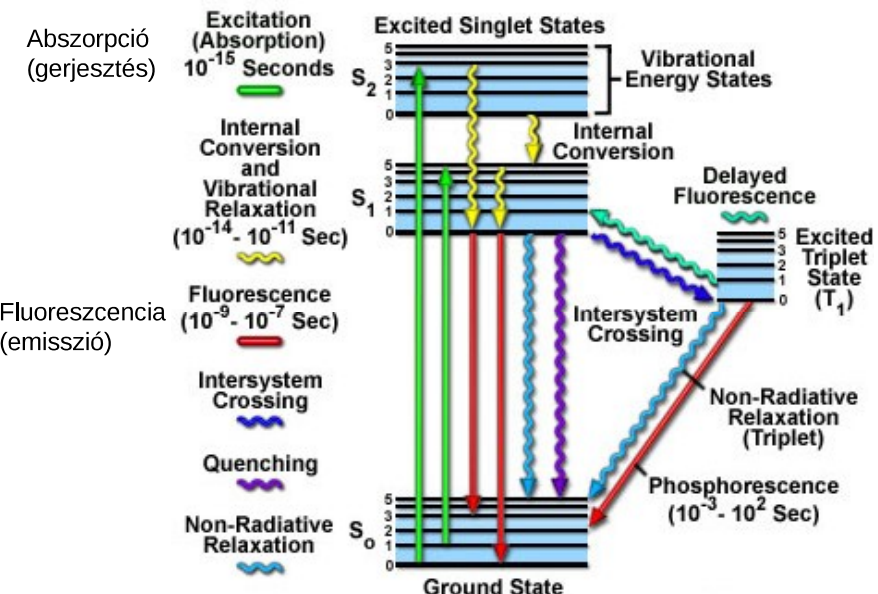
Fény abszorpció és emisszió spektrum



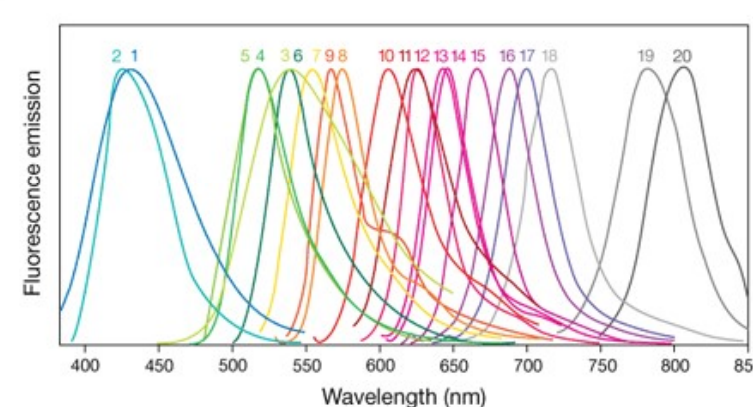
gerjesztés
alkalmas
hullámhosszon

az emisszió
detektálása
alkalmas
hullámhosszon

Fény abszorpció és emisszió – Jablonski diagram



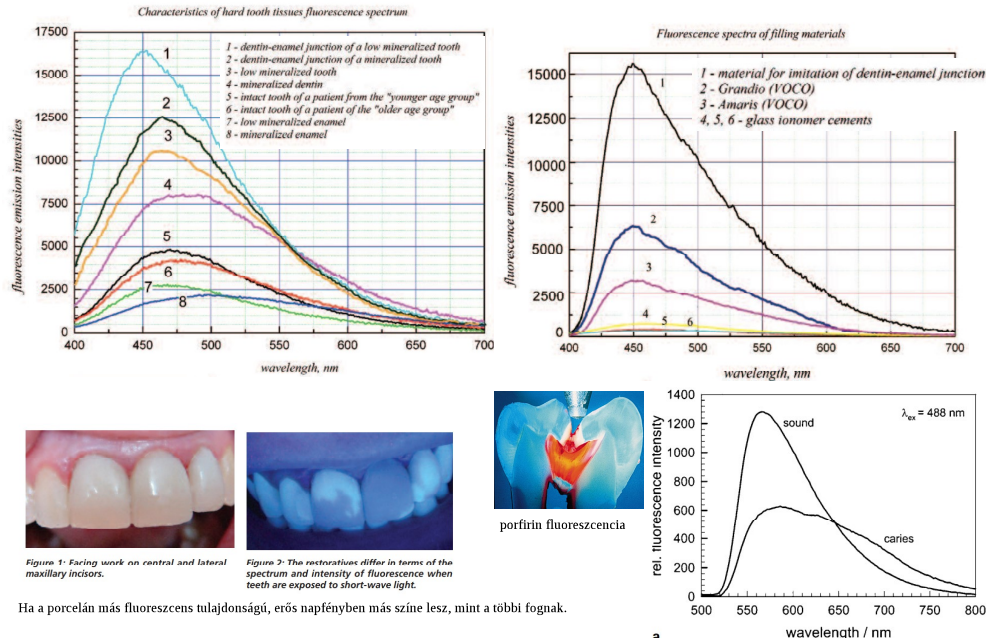
Fluoreszcens festékek (molekulák)



1. Alexa Fluor® 350
2. Alexa Fluor® 405
3. Alexa Fluor® 430
4. Alexa Fluor® 488
5. Alexa Fluor® 500
6. Alexa Fluor® 514
7. Alexa Fluor® 532
8. Alexa Fluor® 546
9. Alexa Fluor® 555
10. Alexa Fluor® 568
11. Alexa Fluor® 594
12. Alexa Fluor® 610
13. Alexa Fluor® 633
14. Alexa Fluor® 635
15. Alexa Fluor® 647
16. Alexa Fluor® 660
17. Alexa Fluor® 680
18. Alexa Fluor® 700
19. Alexa Fluor® 750
20. Alexa Fluor® 790

Különböző színű festék molekulák köthetők különböző helyekre

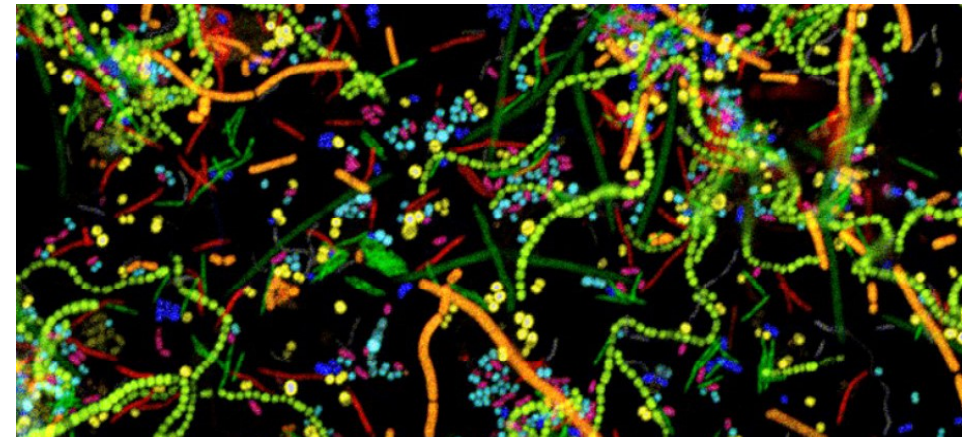
A fog és a tömőanyag autofluoreszcenciája



Az ideális fluorofór

- kicsi
- hidrofil
- a látható tartományban nyel el és emittál (kétfoton: IR-ben nyel el)
- nagy Stokes eltolódása van
- specifikusan kötődik
(biotin/avidin, His-tag/Ni, antitest/antigén, NH₂, SH)
- fényes (abszorpció*fluoreszcencia hatásfok nagy)
- nem, vagy lassan ég ki (kivéve: FRAP)
- nem csinál fotokémiai reakciókat (kivéve: uncageing)
- nem pislog (kivéve: STORM)
- ...

Fluoreszcensen jelzett baktériumok



CLASI-FISH: fluorescens festékkel jelölt, egyszálú DNS-darabkák kombinációjának specifikus kötődésén alapul, más-más szín keverődik ki, ahogy más kombinációban és arányban kötődnek az egyes darabok a különböző fajtájú baktériumokhoz.

After looking at these samples, Leeuwenhoek wrote that he saw "an unbelievably great company of living animalcules, swimming more nimbly than any I had ever seen up to this time. The biggest sort . . . bent their body into curves in going forwards. . . Moreover, the other animalcules were in such enormous numbers, that all the water . . . seemed to be alive."

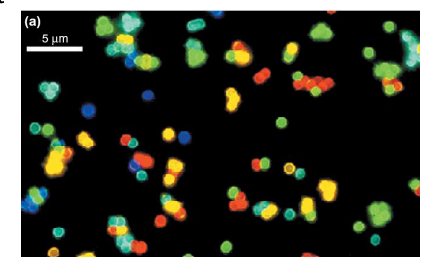
Fluoreszcens kvantumpöttyök

(a) CdSe-ből ZnS borítással készült kvantumpöttyök
fluorescenciamikroszkópos képe

A kvantumpöttyök mérete
határozza meg az emittált
fluoreszcencia színét.

A nanométeres méretű félvezető kristály darabkába
elektron vagy lyuk van "bezárva",

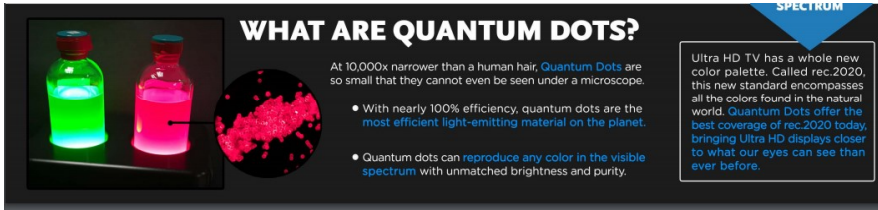
elektronok vannak egy zárt dobozban meghatározott
energiászinteken, mint a molekulákban is



(b) tíz eltérő méretű, ezért elérő
színben fluoreszkáló CdSe/ZnS
kvantumpötty

közeli 100% hatásfok!

A tökéletes fénykibocsátó anyag



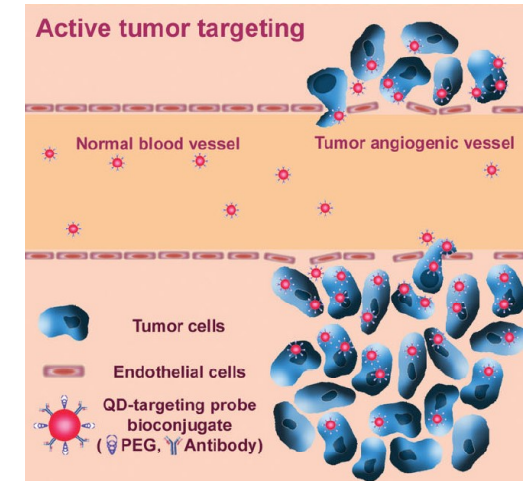
QDEF® by nanosys™

Nanosys designed QDEF to be a straightforward replacement for an existing film in LCD backlights.

Each QDEF sheet contains trillions of tiny nanocrystals called quantum dots that have a unique property – **they emit light in pure colors more efficiently than any other material on the planet**. Display makers can simply drop Nanosys QDEF technology into their LCD manufacturing process to experience displays with color and efficiency beyond the best OLEDs, at a fraction of the cost.



Fluoreszcens kvantumpöttyökkel jelölt rákos daganatok



Fluoreszcens fehérjék



Aequorea victoria
(medúza)



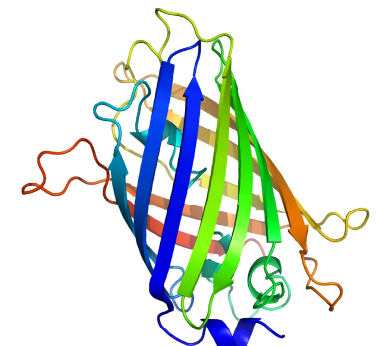
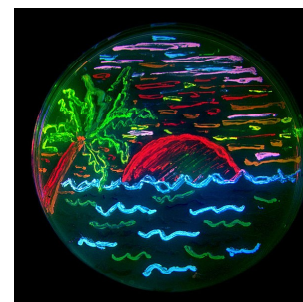
Acropora millepora
(korall)

GFP (Green Fluorescent Protein)

genetikailag kódolt fehérje, ami együtt expresszálódik a vizsgált fehérjével

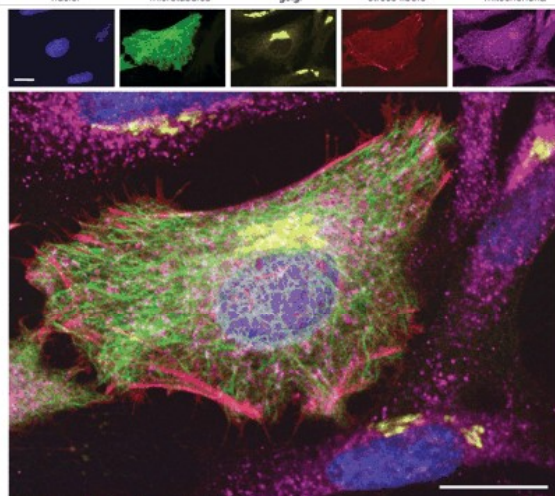
a vizsgált fehérje eloszlását látjuk,
hol termelődik

színvariációk



Fluoreszcens jelölő módszerek párhuzamos alkalmazása

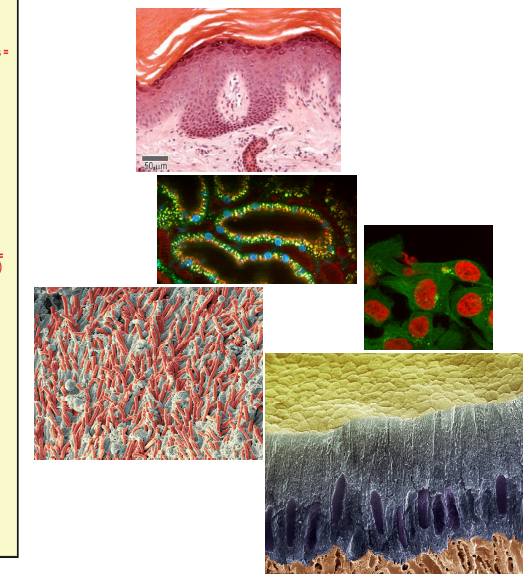
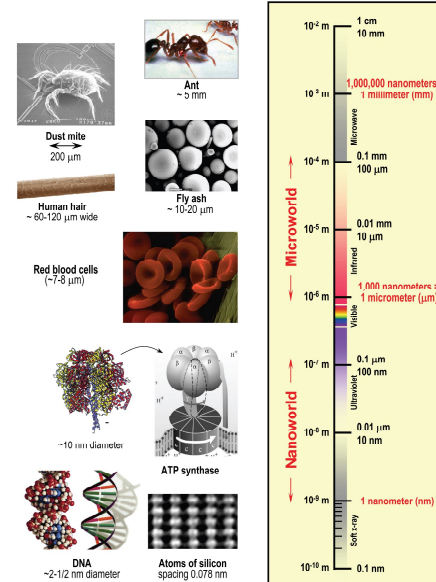
Excitation (nm): 800 (2 photon)	488	432	568	637
Emission (nm): 410-490	500-530	555-565	580-620	>660
Fluorophore:	Hoechst	GFP	QD65	ReAsh
Targeting:	direct affinity	genetic	immuno	genetic
Target:	DNA	α -tubulin	giantin	β -actin
Structure:	nuclei	microtubules	goigi	stress fibers



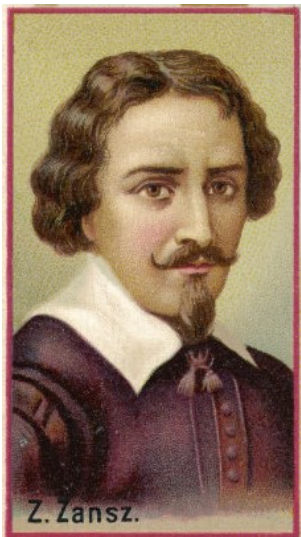
Öt különböző módszerrel megfestett HeLa sejtek.

A vonal 20 μm hosszú.

Mekkorák a dolgok?



Hans Jansen és Zacharias Jansen
1590-ben összetett mikroszkópot épít



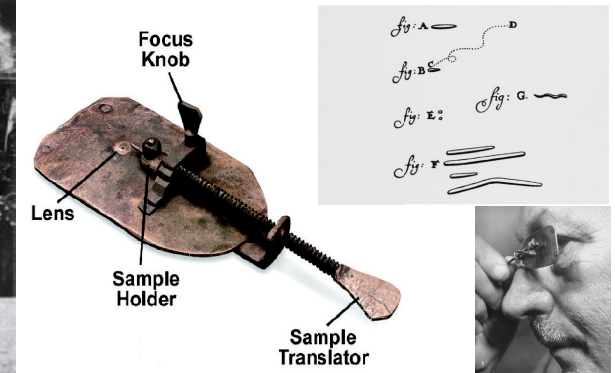
3x-10x nagyítás

Antoni van Leeuwenhoek 1632-1723
1674-ben egyszerű mikroszkópot készít



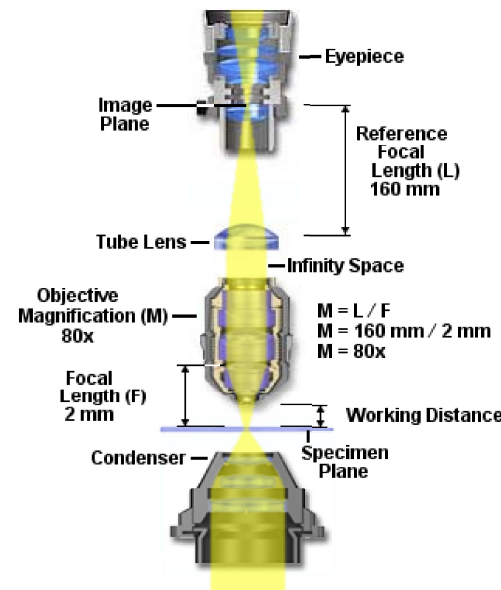
kíváncsi volt és jó lencséket tudott csiszolni

először látott baktériumokat a saját maga és mások fogáról vett mintában (animacules), felfedezte a vérsejteket és elő spermiumokat figyelt meg.

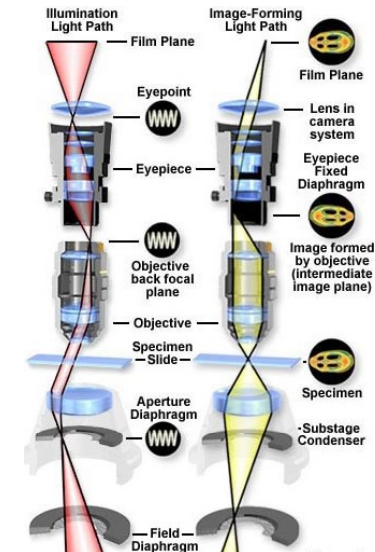


70x-250x a lencse minőségétől függően

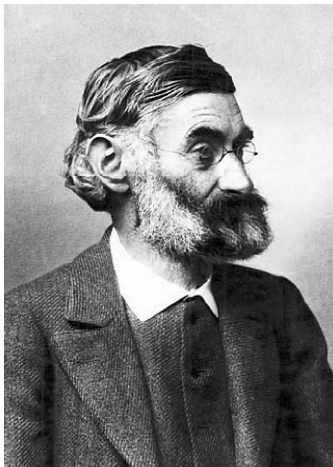
“Végtelenre korrigált” optika



Köhler megvilágítás



Ernst Karl Abbe (1840-1905)

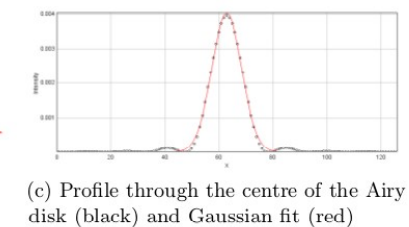
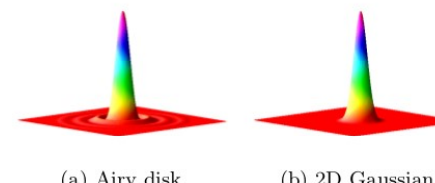


Az optikai eszközök gyártását tudományos alapokra helyezte.

$$d = \frac{\lambda}{2n \sin \omega}$$

$\delta = 0,61 \cdot \lambda / (n \cdot \sin \omega)$ NA numerikus appertúra, az objektív fontos paramétere

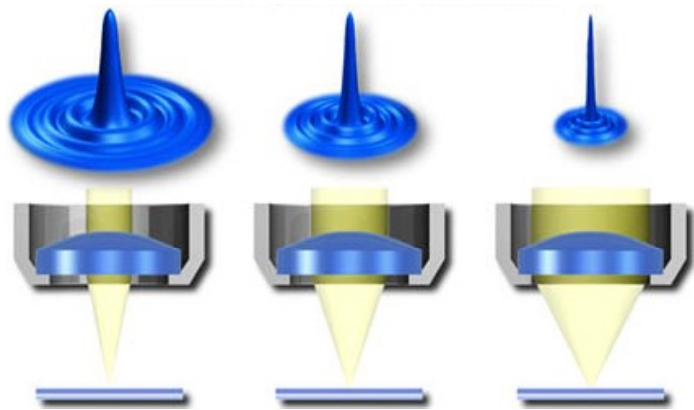
Point Spread Function (PSF)



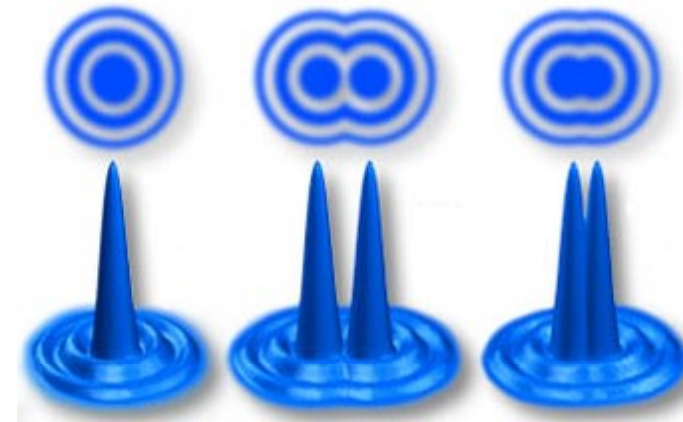
A (fluoreszcens) tárgy egy pontjának képe, nem egy pont, hanem adott intenzitáseloszlású folt. Ez a tulajdonság a fény hullámtermészetének a következménye.

Az objektív segítségével egy térrészbe lehet a fényt fókuszálni, nem egy pontba (fL).

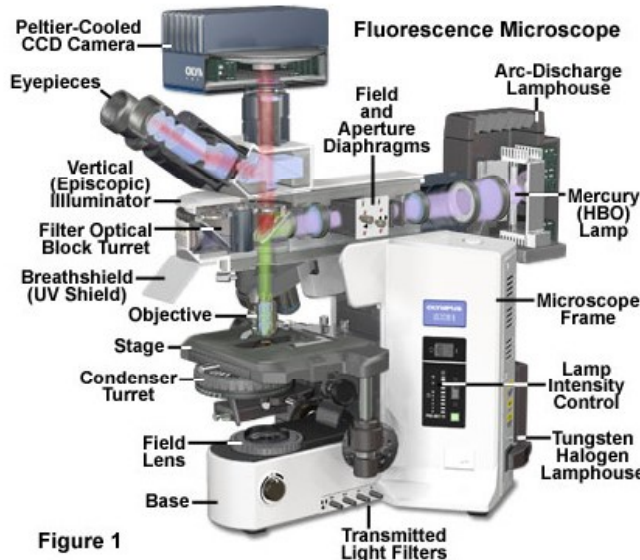
A numerikus apertúra hatása a PSF-re



A fény hullámtermészetének hatása a képre



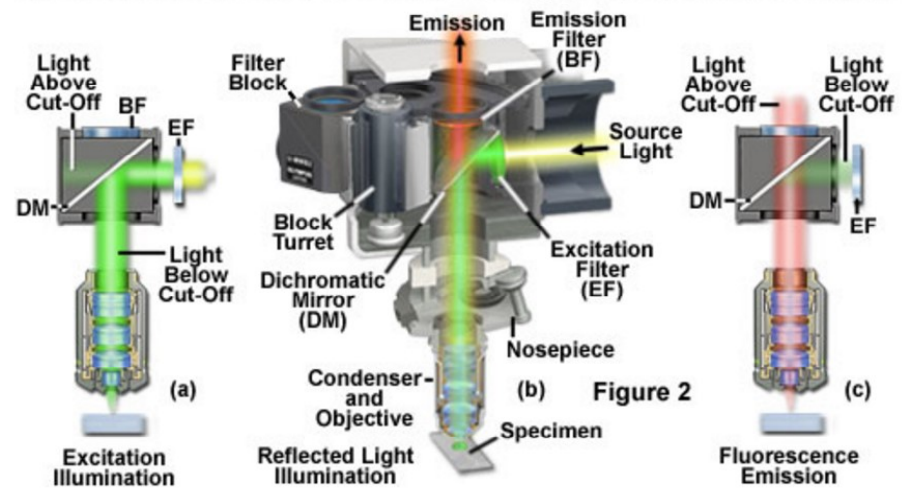
Fluorescencia mikroszkóp



Fluorescencia mikroszkóp

Hogyan válasszuk el a gerjesztést az emissziót?

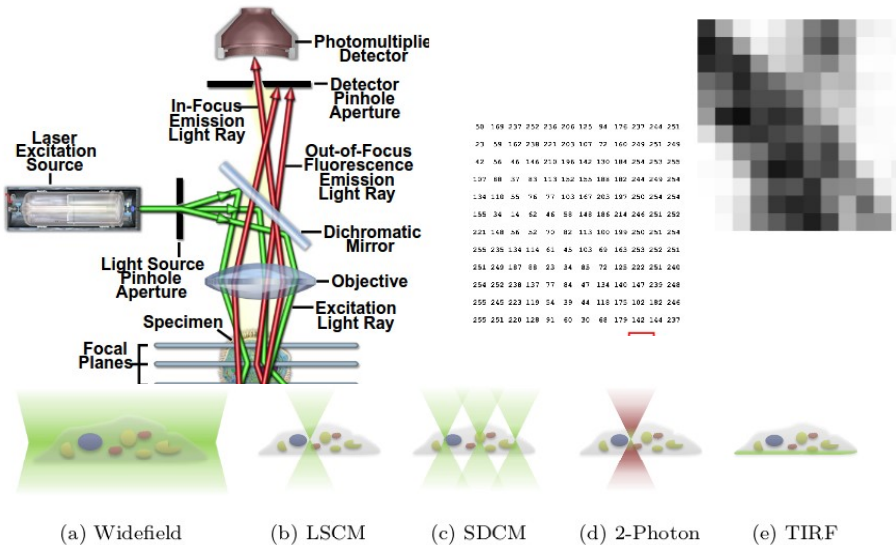
Dichromatic Mirror Function in Reflected Light Fluorescence Illumination



Fluorescence Emission

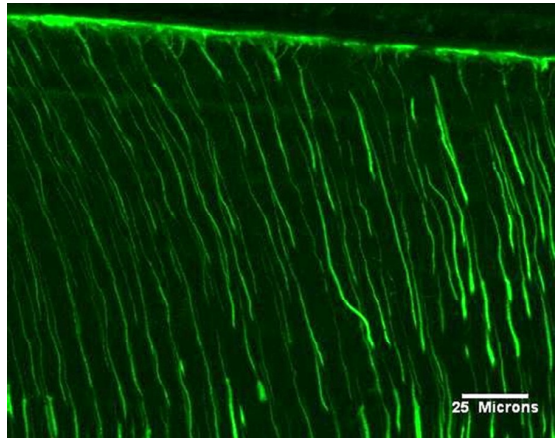
Figure 2

A konfokális mikroszkóp működése (CLSM)



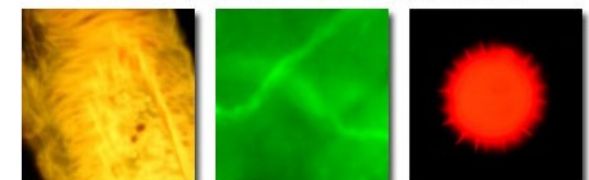
<http://micro.magnet.fsu.edu/primer/virtual/confocal/index.html>

Dentinalis tubulusok humán fogban

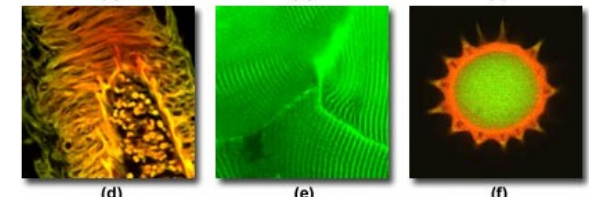


Epifluoreszcens és konfokális mikroszkóp összehasonlítása

epifluoreszcens



konfokális



humán medulla

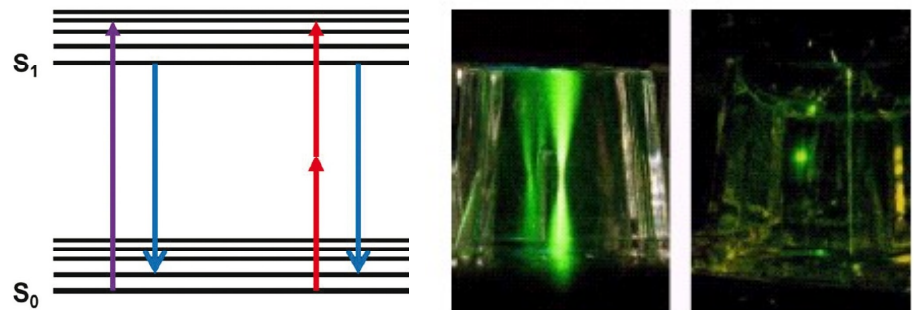
nyúl izom

pollen

optikai szeletelés, STACK-3D rekonstrukció, timelapse, tracking

<http://micro.magnet.fsu.edu/primer/virtual/confocal/index.html>

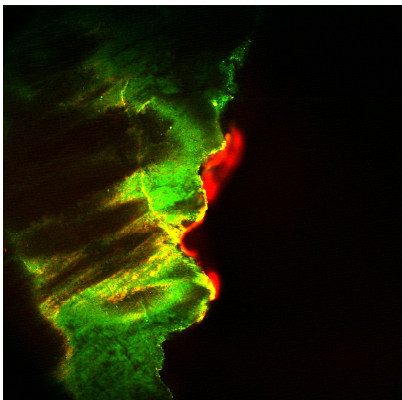
A kétfotonos mikroszkóp működési elve



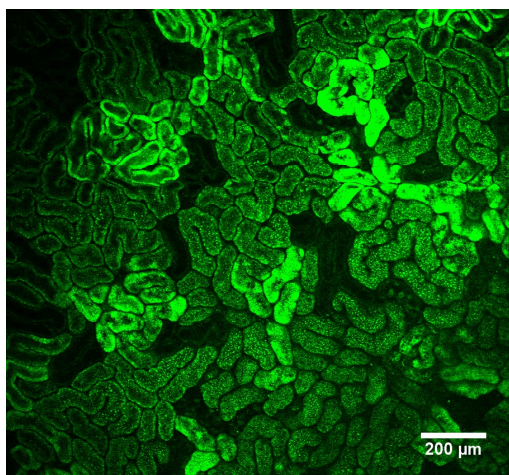
Miért jobb vastag minták esetén (in vivo)?

- gerjesztés: hangolható impulzus laser (nagy fotonsűrűség a fókuszon, 1 femtoliter)
- nincs kétfoton-elnyelődés a fókuszon kívül - optikai szeletelés
- a gerjesztő vörös-infravörös fény kevésbé szóródik
- az összes szort fluoreszcencia fényt detektáljuk
- kevesebb fakulás
- autofluoreszcencia is látszik
- több festék gerjeszthető egyszerre

A kétfoton gerjesztésű pásztázó fluoreszcencia mikroszkóp



Fog metszete



Vese in vivo, sejten belüli Ca

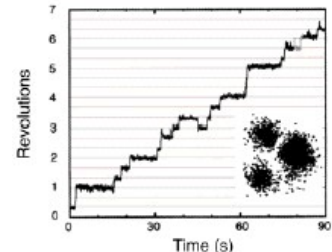
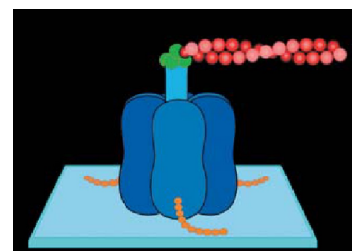
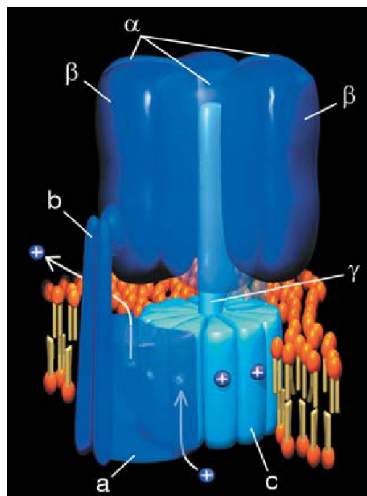
Egyedi molekulák vizsgálata

"Plenty of Room at the Bottom"

"The principles of physics, as far as I can see, do not speak against the possibility of maneuvering things atom by atom. It is not an attempt to violate any laws; it is something, in principle, that can be done; but in practice, it has not been done because we are too big."

Richard Feynman, 1959

Egyedi F1 motor (ATP szintáz) forgó mozgása



Szuperrezolúciós mikroszkóp

The Nobel Prize in Chemistry 2014



Photo: A. Mahmoud
Eric Betzig
Prize share: 1/3



Photo: A. Mahmoud
Stefan W. Hell
Prize share: 1/3



Photo: A. Mahmoud
William E. Moerner
Prize share: 1/3



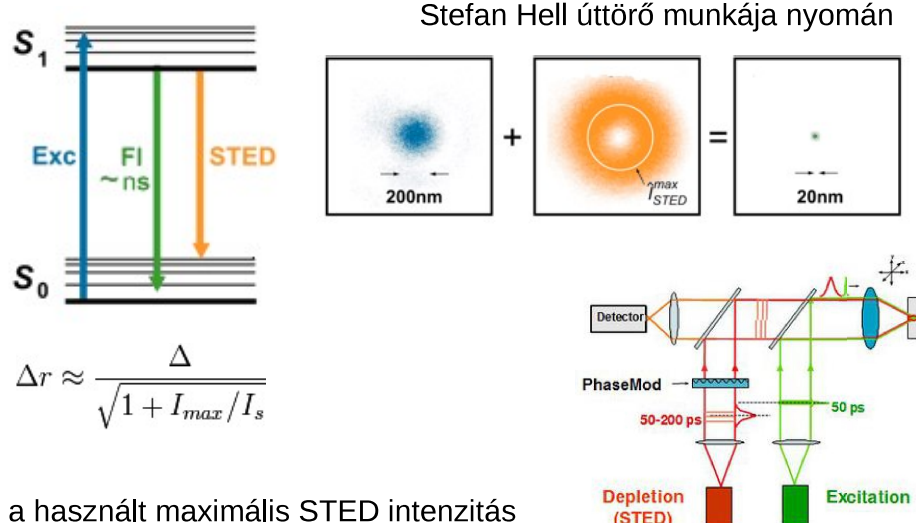
STED

PALM

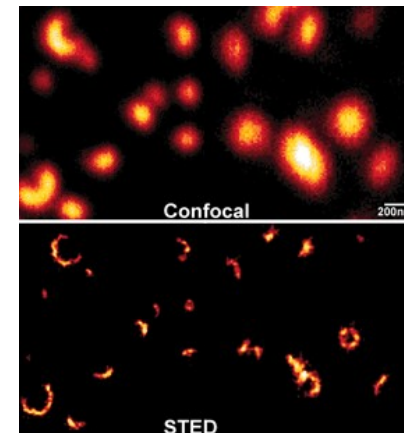
STORM

The Nobel Prize in Chemistry 2014 was awarded jointly to Eric Betzig, Stefan W. Hell and William E. Moerner "for the development of super-resolved fluorescence microscopy".

STimulated Emission Depletion (STED) mikroszkóp

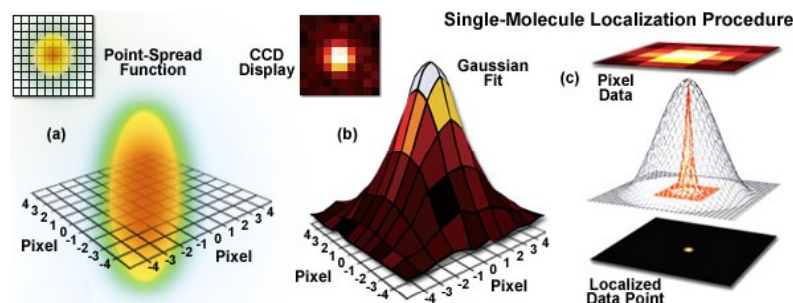


STimulated Emission Depletion (STED) mikroszkóp



Szinaptolizin szerveződése az újra-hasznosított szinaptikus vezikulákban.

Lokalizáció



emlékeztető:

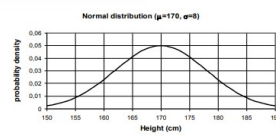
1D Gauss

$$g(x) = \frac{1}{\sigma\sqrt{2\pi}} e^{-\frac{(x-\mu)^2}{2\sigma^2}}$$

Paraméterek:

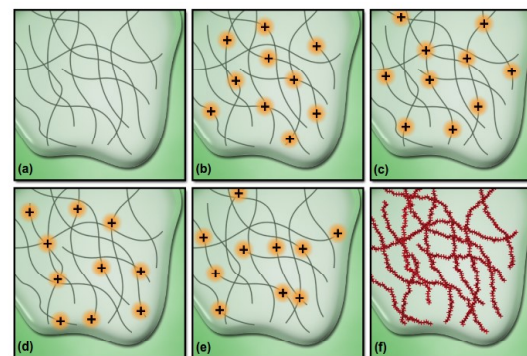
μ – várható érték, vagy elméleti átlag

σ – elméleti szórás



Azt, hogy hol a közepe nagyobb pontossággal tudom megmondani, mint a szórás

STORM (Stochastic Optical Reconstruction Microscopy)



gerjesztésre nem minden festék fog világítani

sok képet veszünk fel

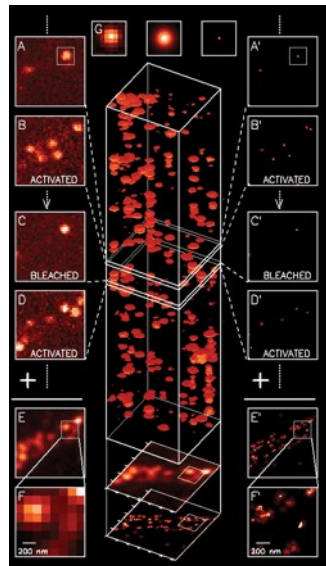
a túl közelű festékek egyszerre ritkán világítanak

az emittált fényfoltok illesztéséből kapott középpontokat rajzoljuk fel

<https://www.microscopyu.com/tutorials/a-comparison-of-sted-and-storm-superresolution-imaging>



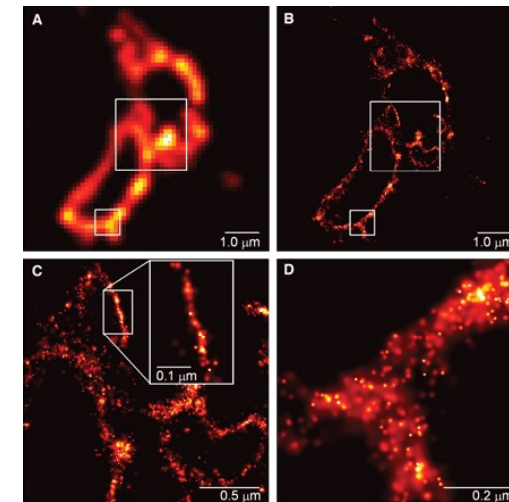
Photo-Activated Localization Microscopy (PALM)



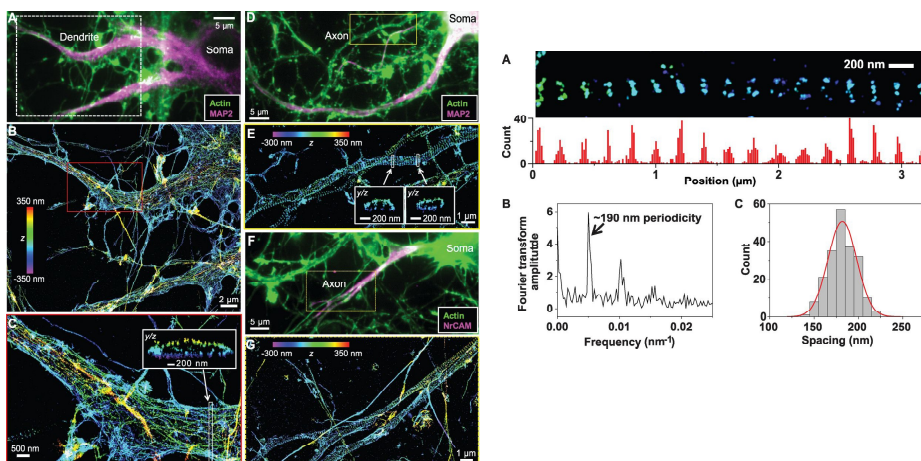
Eric Betzig és Harald Hess
találmánya nyomán

Photo-Activated Localization Microscopy (PALM)

CD63, lizoszóma transzmembrán fehérje



Axonok citoszkeletális szerkezete

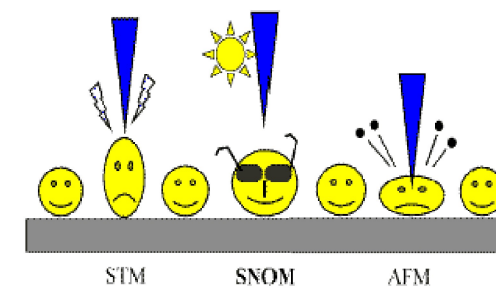


Pásztázó tűszondás mikroszkópek

(Scanning Probe Microscopy – SPM)

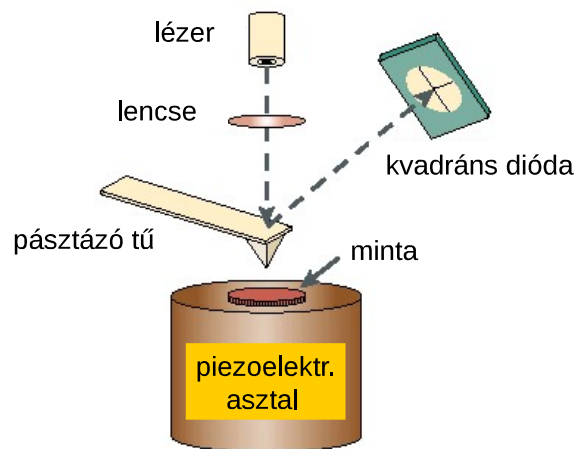
A mikroszkópek olyan családja, amely a minta felszínének domborzati képét hozza létre. Egy hegyes tűvel pásztázzunk a felszínt és a hegy-minta kölcsönhatást mérjük.

STM felfalatói (1981): Heinrich Rohrer and Gerd Binnig



Atomerő mikroszkóp (Atomic Force Microscopy - AFM)

AFM: a mért kölcsönhatás a hegy és minta közötti erő



Contact Mode AFM

A tú és a minta állandó kontaktusban vannak.

A tasztító tartományban dolgozik.

Állandónak tartja az erőt: követi a felszín hullámzását.

A mérőrugó függőleges deformációját detektáljuk.

Lokális erő spektroszkópia: a felület egy adott pontjában az erő/elmozdulás függvény.

Tapping Mode AFM

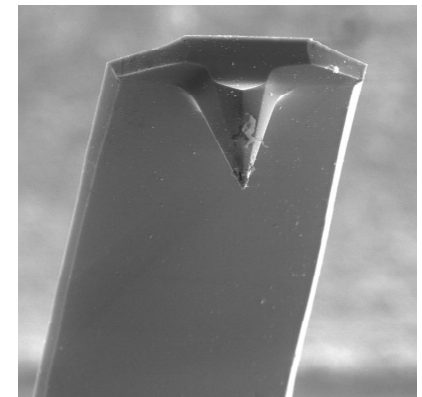
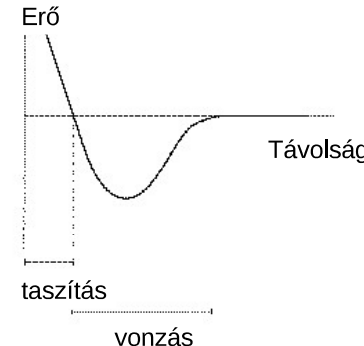
A tú 20-100 nm amplitúdójú rezgéseket végez, minden rezgésnél érinti a felületet.

A rezgési amplitúdó és fázis változik ahogy a felszínen a kiemelkedések és mélyedések vannak.

A tú és a minta közötti erő

A tú jellemzői:

- tipikusan 100 µm hosszú, 1µm vastag, V alakú
- kis rugóállandó
- nagy rezonanciafrekvencia
- szilícium (-oxid, -nitrid)



Előnyök és hátrányok

Contact Mode AFM

Előny:

gyors pásztázás
atomi felbontás
érdes felületekre jó

Hátrány:

a vízszintes erők torzítják a képet
torzítás a minta felületén lévő víz miatt
a lágy biológiai mintákat megkarcolja

Tapping Mode AFM

Előny:

nagyobb laterális felbontás (1 – 5nm)
kevésbé teszi tönkre a lágy mintákat

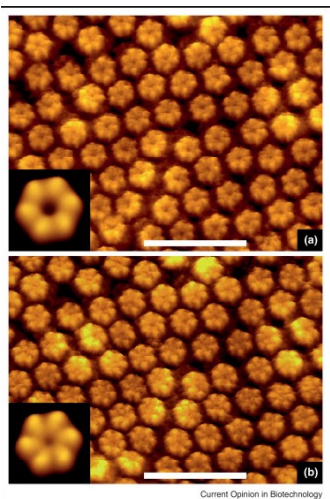
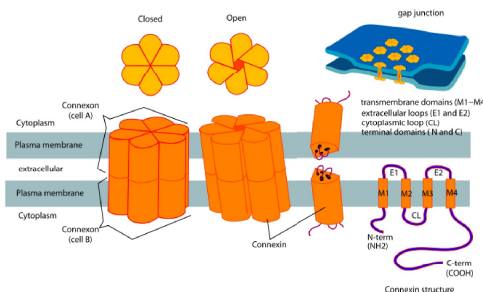
Hátrány:

lassabb pásztázás

Extra-celluláris konnexon AFM képe

Kalcium-indukált konformáció változás az extra-celluláris konnexon felszínben.

A vonal 23 nm hosszú.



Kérdés

Hogyan tudjuk szétválasztani a gerjesztő fényt (lámpa) a detektálandó gyenge fluoreszcens jeltől a fluoreszcens mikroszkópban? Mi teszi ezt lehetővé?

Kollagén szálak

S. Habelitz et al. / Journal of Structural Biology 138 (2002) 227-236

231

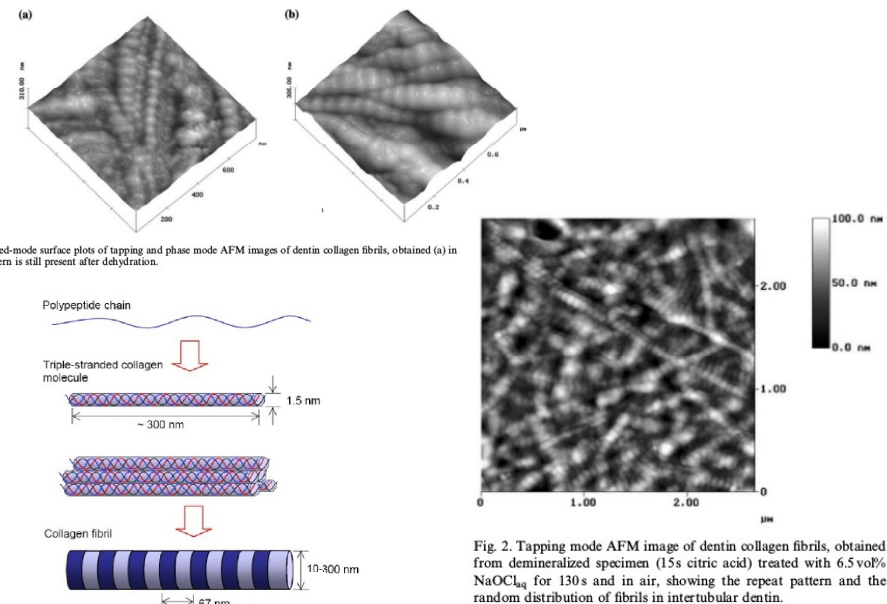


Fig. 2. Tapping mode AFM image of dentin collagen fibrils, obtained from demineralized specimen (15% citric acid) treated with 6.5 vol% NaOCl_{aq} for 130 s and in air, showing the repeat pattern and the random distribution of fibrils in intertubular dentin.